

Течение двумерного атомарного водорода по поверхности жидкого ^4He

А. И. Сафонов¹⁾, А. А. Харитонов, И. И. Лукашевич

Российский научный центр “Курчатовский Институт”, 123182 Москва, Россия

Поступила в редакцию 27 июня 2005 г.

Получено экспериментальное свидетельство гидродинамического течения двумерного газа атомов водорода, адсорбированных на поверхности жидкого гелия. Наблюдаемые проявления течения согласуются с представлениями квантовой гидродинамики поверхности гелия, что дает возможность исследовать взаимодействие двумерного водорода с риплонами и поверхностными квазичастицами ^3He и, в перспективе, наблюдать сверхтекучесть двумерного бозе-газа атомов Н. Результаты экспериментов по тепловому сжатию позволяют оценить характерные времена передачи продольного импульса между подсистемами водорода и связанных с поверхностью атомов ^3He ($\tau_{\text{НЗ}}$), а также от риплонов в подложку (τ_{R}). Значение $\tau_{\text{НЗ}} \sim 4 \cdot 10^{-8}$ с согласуется с вычисленным, исходя из величины U_{30} параметра среднего поля для взаимодействия атомов Н с основным поверхностным состоянием ^3He . В то же время значение τ_{R} оказывается более чем на порядок короче, чем в экспериментах Манца и др., что может объясняться зависимостью скорости релаксации импульса риплонов от масштаба шероховатости подложки.

PACS: 05.30.Jp, 47.70.Fw, 67.40.Pm, 67.65.+z, 68.03.Kn

Одним из наиболее ярких примеров 2D бозе-газа является спин-поляризованный атомарный водород, адсорбированный на поверхности жидкого гелия (2D H \downarrow) [1]. По сравнению с ультрахолодными парами щелочных металлов в анизотропных ловушках [2] образец 2D H \downarrow обладает на несколько порядков большим отношением линейных размеров ($\sim 10^7$) и состоит из гораздо большего количества атомов (вплоть до 10^{13}), что практически исключает влияние конечных размеров и конечного числа частиц. В то же время, в отличие от пленок сверхтекущего гелия толщиной в несколько атомных слоев, в которых переход в сверхтекущее состояние активно исследовался теоретически и экспериментально [3], двумерный водород остается газообразным вплоть до $T = 0$. Наблюдавшееся в настоящей работе поверхностное течение 2D H \downarrow при плотности, близкой к квантовому вырождению, открывает реальную возможность обнаружения сверхтекучести в двумерном бозе-газе.

В экспериментах по тепловому сжатию [4] высокая плотность 2D H \downarrow достигается на небольшом участке поверхности, охлаждаемом до температуры T_s , существенно ниже температуры T_c остальных стенок камеры. Исходная идея теплового сжатия [5, 6] подразумевает равенство локальных скоростей адсорбции и десорбции, что должно приводить к экспоненциальному росту на таком “холодном пятне” двумерной плотности σ , связанной с плотнос-

тью n в объеме камеры приближительным соотношением $\sigma \approx n \Lambda \exp(E_a/T)$ (Λ – тепловая длина волн, $E_a = 1.14(1)$ К – энергия связи атома водорода с поверхностью изотопически чистого ^4He [7], покрывающего стенки рабочей камеры). Холодное пятно расположено перпендикулярно внешнему магнитному полю $B = 4.6$ Тл в центре плоского зеркала резонатора Фабри-Перо спектрометра ЭПР [8], что обеспечивает прямую диагностику как адсорбированной, так и объемной фаз атомарного водорода.

В эксперименте регистрировалась эволюция спектра ЭПР в процессе распада образца H \downarrow в основном за счет ядерной релаксации на стенках камеры с последующей рекомбинацией в молекулы H $_2$ (рис.1). Одновременно измерялась суммарная мощность P , выделяющаяся в камере вследствие рекомбинации (температура камеры поддерживалась постоянной с помощью термоконтроллера). Поведение мощности $P(t) \propto |dn/dt|$ с высокой точностью описывается приближенным кинетическим уравнением

$$-\frac{dn}{dt} = K_{bbb}^{\text{eff}} n^3 + 2G_1^{\text{eff}} n, \quad (1)$$

имеющим простое аналитическое решение. При этом подгоночными параметрами являются нулевой ($n \rightarrow 0$) уровень мощности, а также эффективные кинетические константы K_{bbb}^{eff} и G_1^{eff} , описывающие, соответственно, трехчастичную рекомбинацию и ядерную релаксацию на стенках камеры. K_{bbb}^{eff} и G_1^{eff} определяются из подгонки с точностью не хуже 1%, а нулевой уровень мощности – не хуже 0.01%.

¹⁾e-mail: safonov@issph.kiae.ru

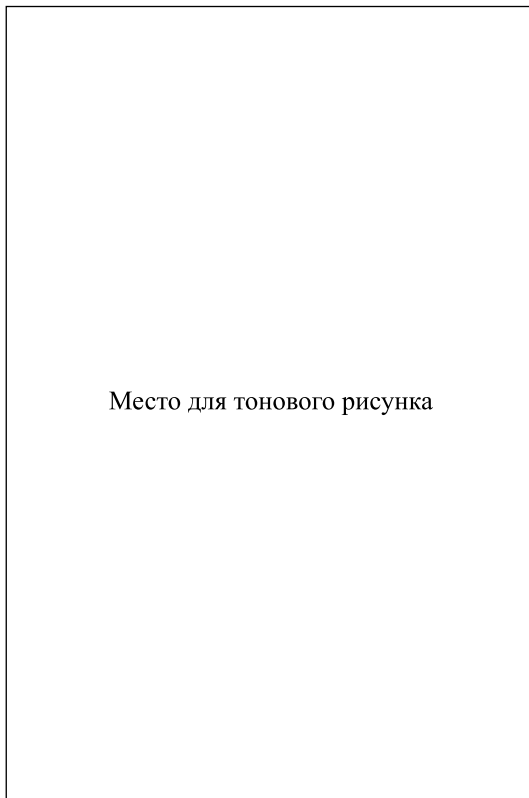


Рис.1. Вверху: Эволюция спектра ЭПР атомарного водорода при $T_c = 113$ мК и $T_s = 43$ мК и низкой мощности СВЧ. Яркостью показана амплитуда поглощения. Интенсивный сигнал в области 0.5 Гц отвечает атомам $\text{H}\downarrow$ в объеме камеры. Внизу: Эволюция рекомбинационной мощности, выделяющейся в рабочей камере. Плавная кривая – подгонка решением уравнения (1)

Можно убедиться, что (1) аппроксимирует решение точных кинетических уравнений для заселенности двух нижних сверхтонких состояний водорода $|a\rangle$ и $|b\rangle$ вплоть до $n \simeq 10^{10} \text{ см}^{-3}$, причем при указанной плотности разница точного и приближенного решений не превышает 20% (заметим, что измеряемая мощность теряется в шумах уже при $n \sim 10^{12} \text{ см}^{-2}$). Сохранение экспоненциального характера распада образца вплоть до столь низких плотностей объясняется обменной рекомбинацией на холодном пятне атомов H в смешанном сверхтонком состоянии $|a\rangle$. Двумерная плотность атомов в состоянии $|b\rangle$ на пятне достаточно высока, а температура, напротив, низка, поэтому для атомов $|a\rangle$, сталкивающихся с поверхностью пятна, вероятность рекомбинации оказывается сопоставимой с вероятностью десорбции. В результате обменная рекомбинация на холодном пятне происходит настолько быстро, что распад образца лимитируется одночастичной ядерной релаксаци-

ей $|b\rangle \rightarrow |a\rangle$ на стенках камеры. Поэтому мы полагаем, что интегрирование (1), используя полученные из подгонки значения кинетических констант, позволяет определить объемную плотность даже далеко за пределами разрешения сигнала термоконтроллера. Приведенные ниже значения плотности в области $n \lesssim 10^{12} \text{ см}^{-3}$ получены с помощью именной такой экстраполяции.

Сигнал ЭПР 2D $\text{H}\downarrow$ смешен по отношению к объемному сигналу (рис.1) на величину размагничивающего, или дипольного, поля, создаваемого друг на друге поляризованными диполями $\text{H}\downarrow$ и пропорционального их плотности, $h = -A\sigma$, $A = 1.0(1) \cdot 10^{-12} \text{ Гс} \cdot \text{см}^2$ [9]. Именно дипольный сдвиг h наиболее точно определяется из спектра, что позволяет найти плотность двумерного водорода в центре холодного пятна. Пространственная однородность внешнего поля на поверхности плоского зеркала резонатора достаточно высока, а собственная ширина линии адсорбированных атомов мала [9], поэтому форма поверхностного сигнала отражает пространственное распределение двумерной плотности.

При высокой мощности СВЧ наблюдается нестабильность спектра ЭПР 2D $\text{H}\downarrow$: форма линии трансформируется в треугольную, а максимум сигнала поглощения смещается относительно невозмущенного, то есть наблюдаемого при низкой мощности, положения (рис.2). Смещение максимума Δh соответствует

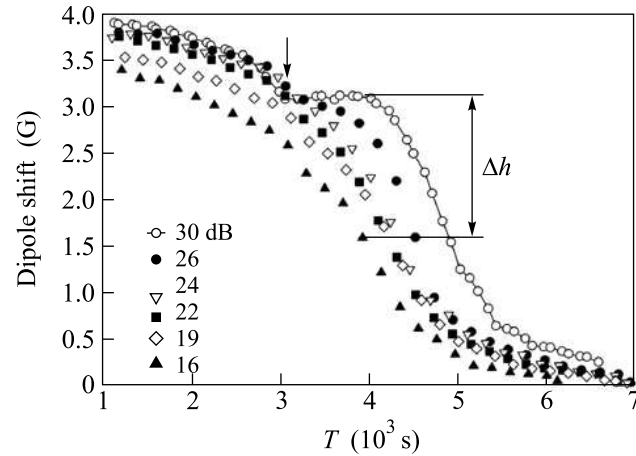


Рис.2. Эволюция плотности 2D $\text{H}\downarrow$ на смеси ${}^3\text{He}-{}^4\text{He}$ в процессе распада образца при различной мощности СВЧ, выраженной в дБ, относительно уровня с амплитудой $H_1 \simeq 1.6 \text{ мГс}$. Временные шкалы совмещены таким образом, чтобы все кривые $P(t)$ (ср. рис.1) совпадали и, следовательно, были одинаковыми соответствующие значения объемной плотности $n(t)$

уменьшению $\Delta\sigma$ поверхностной плотности на холодном пятне.

Ранее уже отмечалось, что перенос атомов водорода вдоль поверхности может заметно влиять на условия возникновения нестабильности спектра ЭПР [4, 10]. Для выяснения роли двумерного течения водорода результаты экспериментов на изотопически чистом ^4He сравнивались с результатами на смеси ^3He - ^4He , содержащей небольшую, порядка 10^{12} cm^{-2} , поверхностную концентрацию ^3He . Идея состоит в аналогии между течением водорода и теплопереносом по поверхности жидкого гелия, который, как известно, осуществляется гидродинамическим потоком газа риплонов [11]. В случае смеси ^3He - ^4He рассеяние риплонов на поверхностных квазичастицах ^3He вызывает торможение потока, что проявляется в снижении эффективной теплопроводности поверхности по сравнению с чистым ^4He . Таким же образом H - ^3He рассеяние должно приводить к диссипации потока двумерного водорода.

На рис.3 показано снижение поверхностной плотности водорода $\Delta\sigma$ при $T_c = 113 \text{ mK}$ и $T_s = 43 \text{ mK}$ на

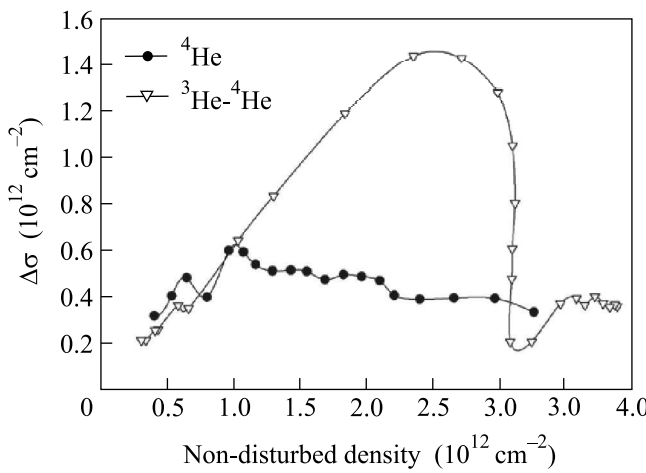


Рис.3. $\Delta\sigma$ на чистом ^4He и на смеси ^3He - ^4He при одинаковой, 19 дБ, уровне мощности (ср. рис.2). Резкое изменение $\Delta\sigma$ при $\sigma = 3.1 \cdot 10^{12} \text{ cm}^{-2}$ связано с вымыванием ^3He с холодного пятна потоком водород-риплонной смеси

чистом ^4He и на смеси ^3He - ^4He вследствие нестабильности спектра при одной и той же мощности СВЧ. График $\Delta\sigma$ для смеси четко распадается на две части: в начале распада, то есть при высокой плотности, его поведение совпадает с чистым ^4He . При низкой же плотности два графика резко отличаются – при одной и той же мощности снижение плотности $\Delta\sigma$ для смеси оказывается гораздо больше. Видно также, что временная зависимость двумерной плот-

ности $\sigma(t)$ имеет особенность в точке, отмеченной стрелкой на рис.2, где начинается указанное различие. Еще одно важное наблюдение состоит в том, что нестабильность спектра 2D $\text{H}\downarrow$ на смеси возникает при мощности на 3(1) дБ ниже, чем на чистом ^4He .

Возвращаясь к аналогии с риплонами, напомним, что при достаточно высоком градиенте температуры (то есть градиенте давления риплонного газа) наблюдалось полное вымывание ^3He с некоторых участков поверхности [11]. Описанное выше поведение $\Delta\sigma$ можно трактовать как аналогичный эффект, вызванный рассеянием адсорбированных атомов H на поверхностных атомах ^3He . Тогда совпадение значений $\Delta\sigma$ на смеси и на чистом ^4He означает вымывание ^3He с холодного пятна. Для такого вымывания необходимо, чтобы поток водорода был направлен от центра пятна наружу. В то же время, очевидно, что в пределе низкой плотности σ поток должен быть направлен наоборот – от теплой периферии к холодному центру, поскольку именно такое направление диктуется градиентом давления риплонов. Следовательно, в определенный момент в процессе распада образца течение водорода изменяет направление. Этот момент (назовем его точкой поворота) представляет особый интерес благодаря отсутствию переноса частиц вдоль поверхности.

Вывод об изменении направления течения водорода качественно подтверждается поведением σ при низкой мощности, то есть в отсутствие нестабильности спектра (рис.4). Нетрудно видеть, что при высокой плотности, когда 2D $\text{H}\downarrow$ растекается с холодно-

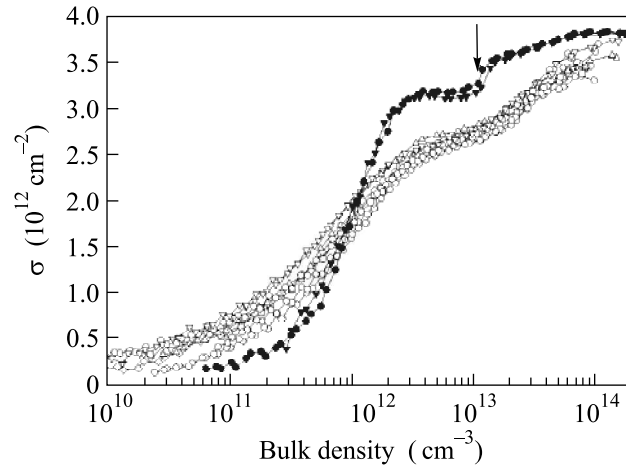


Рис.4. Эволюция плотности 2D $\text{H}\downarrow$ на чистом ^4He (светлые символы) и на смеси ^3He - ^4He (черные символы) при низкой мощности СВЧ. Разные символы соответствуют различным образцам при одинаковых условиях

го пятна, σ оказывается ниже на “гладком” чистом ^4He , чем на “шероховатой” смеси. В то же время, при низкой мощности и, соответственно, направленном к центру течении наблюдается противоположная картина. Точка поворота, очевидно, отвечает пересечению кривых $\sigma(t)$ для чистого ^4He и для смеси – в отсутствие течения влияние ^3He исчезает и поверхностная плотность в обоих случаях оказывается одинаковой.

Необходимо также подчеркнуть, что в отсутствие переноса вдоль поверхности, то есть в случае равенства скоростей адсорбции и десорбции, плотность на смеси должна быть ниже, поскольку ниже энергия адсорбции E_a [7]. Однако разница значений σ на чистом ^4He и на смеси ^3He - ^4He при высокой плотности оказывается противоположного знака, что можно рассматривать как еще одно прямое подтверждение течения двумерного водорода.

Используем представленные свидетельства поверхностного течения 2D H_\downarrow для оценки скоростей передачи импульса между компонентами двумерной смеси. В отсутствие ^3He скорости стационарного течения риплонов и водорода даются выражениями [10]

$$\mathbf{u}_\text{H} = -\frac{\tau_\text{R}}{\rho_\text{R}}(\nabla P + x\nabla P_\text{H}), \quad \mathbf{u}_\text{R} = -\frac{\tau_\text{R}}{\rho_\text{R}}\nabla P, \quad (2)$$

где $P = P_\text{H} + P_\text{R}$ есть полное давление и $x = (\rho_\text{R}/\rho_\text{H})(\tau_{\text{HR}}/\tau_\text{R})$. Назовем эффективной температурой поверхности $T_{\text{eff}}(\sigma, n)$ значение, при котором скорости адсорбции и десорбции равны для заданных σ и n . Введем также эффективное давление водород-риплонной смеси P_{eff} , вычисленное по T_{eff} и по измеренному значению σ . При $\mathbf{u}_\text{H} = 0$ в пределе низкой мощности СВЧ, пренебрегая рекомбинационными потерями, получим $T = T_{\text{eff}}$ и $P = P_{\text{eff}}$. С другой стороны, при $\mathbf{u}_\text{R} = 0$ имеем $\nabla P = 0$, то есть суммарное давление однородно и равно своему значению P_c на теплых стенках камеры. Последнее легко вычисляется по известной объемной плотности n и температуре камеры T_c .

На рис.4 точка поворота течения водорода $\mathbf{u}_\text{H} = 0$ (пересечение кривых для чистого He^4 и для смеси) имеет место при $\sigma = 1.7(3) \cdot 10^{12}\text{см}^{-2}$ и $n = 1.0(2) \cdot 10^{12}\text{см}^{-3}$, так что $T_{\text{eff}} = 77(1)\text{мК}$. Далее находим $P = 0.83(7)P_c$ и $P_h = 0.43(7)P_c$, что позволяет оценить $x \sim 0.4$. В то же время сравнение значения τ_R , измеренного Манцем и др. [11], и величины τ_{HR} , вычисленной Циммерманом и Берлинским [12], дает $x = 0.01$. Следует подчеркнуть, что численное решение уравнений переноса, приведенных в [10], также согласуется с экспериментальными данными, лишь если время τ_R оказывается значительно короче изме-

ренного Манцем и др. (в противном случае течение водорода к центру пятна в конце распада образца было бы настолько быстрым, что двумерная плотность на пятне σ оставалась бы высокой существенно дольше, чем наблюдалось в действительности). Причиной такого расхождения может быть зависимость τ_R от шероховатости поверхности подложки [13].

Знание перепада давления водород-риплонной смеси, необходимого для вымывания ^3He с холодного пятна, позволяет оценить плотность ^3He на теплых стенках рабочей камеры. При течении от центра к периферии $T_{\text{eff}} > T$ и, следовательно, $P_{\text{eff}} > P > P_c + P_3$. Поэтому разность $P_{\text{eff}} - P_c$ дает оценку сверху для давления $P_3 = n_3 k_B T_c$ двумерного ^3He на стенках камеры. В условиях, представленных на рис.3 и 4, вымывание ^3He с пятна происходит при $\sigma = 3.1 \cdot 10^{12}\text{см}^{-2}$ и $n = 1.0 \cdot 10^{13}\text{см}^{-3}$, что соответствует $T_{\text{eff}} = 87\text{ мК}$. Отсюда находим $P_{\text{eff}} - P_c \sim \sim 1.5 \cdot 10^{-5}\text{дин/см}$ и, наконец, $n_3 \lesssim 9.5 \cdot 10^{11}\text{см}^{-2}$. При низкой плотности водорода, например в конце распада, благодаря течению риплонов к центру пятна n_3 в центре может возрасти до $\sim 6 \cdot 10^{12}\text{см}^{-2}$. Это ведет к уменьшению энергии адсорбции водорода E_a на $\sim 1\%$ [7] и, значит, к увеличению скорости десорбции. Соответствующее $\lesssim 10\%$ уменьшение плотности σ , однако, пренебрежимо мало по сравнению с разницей значений, наблюдавшихся на чистом ^4He и на смеси ^3He - ^4He .

Отклонение температуры поверхности от невозмущенного значения в случае нестабильности спектра ЭПР

$$\Delta T \approx \frac{f D \sigma}{2 \tau_{\text{ESR}} (\partial Q_{\text{RP}} / \partial T)} \quad (3)$$

связано с отклонением плотности соответственно на чистом ^4He и на смеси ^3He - ^4He выражениями [10]

$$mc^2 \Delta \sigma_4 \simeq - \left[\frac{S_\text{R}}{1+x} + \left(\frac{\partial P_\text{H}}{\partial T} \right)_\sigma + \frac{x \tilde{S}}{1+x} \right] \Delta T, \quad (4)$$

$$mc^2 \Delta \sigma_{\text{mix}} \simeq mc^2 \Delta \sigma_4 - \left(\frac{\tau_{\text{HR}}}{\tau_{\text{H}3}} \right) \tilde{S} \Delta T. \quad (5)$$

Здесь $\tilde{S} \simeq \sigma(E_a/T) \tau_*^2 (\tau_s \tau_{\text{HR}})^{-1}$, $\tau_* = r_* \sqrt{m/2T} \simeq 2.3 \cdot 10^{-5}\text{с}$ – характерное время распространения звука по пятну, а $r_* \simeq 0.8\text{мм}$ – радиус холодного пятна [4, 9]. Из приведенных выражений следует, что при одинаковой мощности СВЧ $\Delta \sigma$ на смеси выше, чем на чистом ^4He , что и наблюдается в эксперименте.

При амплитуде СВЧ поля $H_1 \simeq 10^{-5}\text{ Гс}$, чуть выше критической для возникновения нестабильности,

имеем на чистом ${}^4\text{He}$ $\Delta\sigma/\sigma \simeq 0.1$. Далее находим $\Delta T \simeq 2.3\text{ мК}$ и $E_a\Delta T/T^2 \simeq 0.3$, что подтверждает справедливость линейного приближения, использованного в [10] для вывода уравнений (4) и (5). В точке поворота течения водорода ($\sigma = 1.7 \cdot 10^{12}\text{ см}^{-2}$, $T = 77\text{ мК}$, $\tau_{\text{ESR}} \simeq 1.3\text{ с}$) из уравнения (3) получаем долю рекомбинационной энергии, выделяющейся локально в месте элементарного акта, $f \simeq 0.014$, в согласии с ранее известными результатами [14]. Стоит, однако, отметить, что истинное значение f может маскироваться диффузией возбужденных молекул H_2^* в зазоре шириной $d = 0.6\text{ мм}$ и радиусом $R = 5\text{ мм}$ между плоским зеркалом резонатора и расположенной над ним каптоновой пленкой [4]. Среднее число столкновений со стенками, которое испытывают молекулы прежде чем покинуть зазор, $N \sim R^2/d^2$, сравнимо с числом столкновений $N_{1/2} \sim 150$, необходимых для потери половины энергии возбуждения [14]. Поэтому значительная доля энергии, выделяющейся при рекомбинации на холодном пятне, остается в зазоре, распределяется по ограничивающим его поверхностям. Возвращающаяся на холодное пятно часть, $r_0^2/2R^2 \sim 0.01$, сопоставима с полученным выше значением f , которое, таким образом, следует рассматривать как оценку сверху.

Отношение критических уровней мощности СВЧ, при которых возникает нестабильность спектра ЭПР 2D $\text{H}\downarrow$ на чистом ${}^4\text{He}$ и на смеси, составляет 2.0(5). Так как $\Delta\sigma$ пропорционально мощности, это отношение равно отношению соответствующих значений $\Delta\sigma$, наблюдаемых при равной мощности. В точке поворота из уравнений (4) и (5) получаем $\tau_{\text{HR}}/\tau_{\text{Hz}} = 2.1(8)$ и окончательно $\tau_{\text{Hz}} = 3.9(1.5) \cdot 10^{-8}\text{ с}$, в полном согласии со значением $3 \cdot 10^{-8}\text{ с}$, вычисленным по величине параметра среднего поля U_{30} для взаимодействия H и ${}^3\text{He}$ [10].

В заключение остановимся на выводе Рейнольдса и др. [15] о негативных последствиях слабой связи риплонов с фононами пленки и сравнительно высокой теплопроводности риплонов для успеха экспериментов с холодным пятном. При низкой плотности водорода результат оказывается прямо противоположным сделанному в [15] утверждению: в действительности чем слабее связь риплонов с подложкой, тем выше скорость потока риплонов к центру пятна. Следовательно, тем выше плотность водорода, увлекаемого на пятно потоком риплонов. Кроме того, слабая связь с подложкой ведет к выравниванию не температуры риплонов, а суммарного давления P . Температура же, напротив, испытывает резкий скачок на границе пятна, отражающий скачок плотности и давления водорода.

Представленные свидетельства гидродинамического течения двумерного бозе-газа атомов $\text{H}\downarrow$ открывают широкие возможности исследования взаимодействия водорода с риплонами и квазичастицами ${}^3\text{He}$ на поверхности гелия, что было продемонстрировано оценками некоторых постоянных времени передачи импульса. Дальнейшее продвижение в область квантового вырождения может потребовать комбинации теплового и магнитного сжатия двумерного водорода. Основной трудностью на этом пути представляется сохранение высокой однородности магнитного поля в области плотного 2D $\text{H}\downarrow$, необходимой для непосредственного детектирования методом ЭПР.

Авторы глубоко признательны С. А. Васильеву, Я. Ярвинену и С. Яаккола за неоценимый вклад в подготовку и проведение измерений в лаборатории им. Вихури университета г. Турку, а также за многочисленные плодотворные обсуждения. Работа выполнена при поддержке Министерства образования и науки РФ, грантов ИНТАС (# 2001-0552) и Российского фонда фундаментальных исследований (# 02-02-16652-а и # 05-02-16858-а), а также Фонда Вихури.

1. A. I. Safonov, S. A. Vasilyev, I. S. Yasnikov et al., Phys. Rev. Lett. **81**, 4545 (1998).
2. A. Görlitz, J. M. Vogels, A. E. Leanhardt et al., Phys. Rev. Lett. **87**, 130402 (2001).
3. D. J. Bishop and J. D. Reppy, Phys. Rev. B **22**, 5171 (1980)
4. S. A. Vasilyev, A. I. Safonov, J. Järvinen et al., Phys. Rev. Lett. **89**, 153002 (2002).
5. B. V. Svistunov, T. W. Hijmans, G. V. Shlyapnikov, and J. T. M. Walraven, Phys. Rev. B **43**, 13412 (1991).
6. A. Matsubara, T. Arai, S. Hotta et al., Physica B **194-196**, 899 (1994).
7. A. I. Safonov, S. A. Vasilyev, A. A. Kharitonov et al., Phys. Rev. Lett. **86**, 3356 (2001).
8. S. A. Vasilyev, J. Järvinen, E. Tjukanoff et al., Rev. Sci. Instrum. **75**, 94 (2004).
9. S. A. Vasilyev, J. Järvinen, A. I. Safonov, and S. Jaakkola, Phys. Rev. A **69**, 023610 (2004).
10. A. I. Safonov, A. A. Kharitonov, and I. I. Lukashevich, J. Low Temp. Phys. **138**, 295 (2005).
11. I. B. Mantz, D. O. Edwards, and V. U. Nayak, Phys. Rev. Lett. **44**, 66 (1980); E **44**, 1094 (1980).
12. D. S. Zimmerman and A. J. Berlinsky, Can. J. Phys. **61**, 508 (1983).
13. А. И. Сафонов, С. С. Демух, А. А. Харитонов, Письма в ЖЭТФ **79**, 362 (2004).
14. S. A. Vasilyev, E. Tjukanov, M. Mertig et al., Europhys. Lett. **24**, 223 (1993).
15. M. W. Reynolds, I. D. Setija, and G. V. Shlyapnikov, Phys. Rev. B **46**, 575 (1992).